

УДК 537.525

В. А. Годяк
В. Н. МаксимовО ПРОСТРАНСТВЕННОМ
РАСПРЕДЕЛЕНИИ
ОГРАНИЧЕННОЙ ПЛАЗМЫ

Предлагается упрощенная модель положительного столба сильно неизотермической плазмы, в основе которой лежит предположение о дрейфе ионов в сильных полях, а инерция ионов формально учитывается ограничением скорости амбиполярного дрейфа на границах плазмы скоростью ионного звука. Это позволяет найти простые соотношения для частоты ионизации и граничной концентрации плазмы в зависимости от параметра подобия разряда. Показано, что область применимости упрощенной модели со стороны высоких давлений газа примыкает к области применимости теории Шоттки.

1. Теория положительного столба Шоттки содержит ряд допущений, делающих ее неприменимой в задачах газового разряда, где необходим учет структуры приграничной плазмы. Использование в теории Шоттки нулевых граничных условий ($n_e=0$) приводит к неограниченному росту скорости амбиполярного дрейфа и потенциала на границах плазмы.

Как было показано в [1], эту трудность можно устранить учетом в гидродинамических уравнениях инерции ионов, что приводит к конечному значению плотности плазмы на границах, когда скорость амбиполярного дрейфа достигает ионно-звуковой скорости — v_s (критерий Бома). Учет инерции ионов и критерия Бома позволил авторам [2] в рамках гидродинамической модели построить теорию положительного столба для широкого диапазона давлений нейтрального газа, совпадающую в пределе высоких давлений с теорией Шоттки, а в пределе низких — с теорией Ленгмюра — Тонкса.

Существенным недостатком теоретических моделей Шоттки и авторов [2] является предположение о независимости частоты ион-атомных столкновений от скорости амбиполярного дрейфа, что ограничивает применимость этих теорий сравнительно высокими давлениями, когда $\frac{T_e}{T_g} \frac{\lambda_i}{R} \ll 1$, [3]. Здесь T_e и T_g — температура электронов и газа, λ_i — средняя длина свободного пробега иона, а R — характерный размер плазмы.

Наиболее последовательное рассмотрение эффекта переменной подвижности ионов проведено в работе [4], где в рамках гидродинамической модели с учетом инерции ионов и критерия Бома найдено значение граничной концентрации плазмы

$$\delta_R = \frac{n_R}{n_0} \approx 0,6 A^{1/2}, \quad A = \frac{z}{z + v_0},$$

где z — частота прямой ионизации, v_0 — частота ион-атомных столкновений в слабых полях.

Однако использование в качестве исходного параметра задачи [4] величины A , а не параметра подобия p_0R , (p_0 — приведенное давление газа) оставляет задачу незамкнутой и требует применения дополнительных итерационных методов для нахождения зависимостей A и z от p_0R .

2. В настоящей работе предлагается упрощенная модель положительного столба сильнонеизотермической плазмы ($T_e \gg T_g$), в основу которой положено предположение о дрейфе ионов в сильных полях, а в качестве граничного условия используется критерий Бома. Это позволяет получить простые аналитические зависимости для частоты ионизации и граничной концентрации от параметра подобия разряда.

В условиях газового разряда скорость амбиполярного дрейфа v лежит в пределах $0 < v < v_s$ и при не очень больших значениях p_0R существенно может превосходить тепловую скорость ионов для большей части положительного столба. Движение ионов при таких скоростях, как известно, определяется процессом резонансной перезарядки с сечением, практически не зависящим от скорости иона ($\lambda_i = \text{const}$, $v \sim E^{1/2}$).

В предположениях квазинейтральности плазмы, больцмановского распределения электронов и прямой ионизации исходными уравнениями задачи будут

$$\text{div}(nv) = zn, \quad (1)$$

$$n = n_0 \exp\left(\frac{e\Phi}{kT_e}\right), \quad (2)$$

$$v = \left(\frac{2\lambda_e E}{\pi M}\right)^{1/2}. \quad (3)$$

По аналогии с работами [2, 4], где трение ионов определяется эффективной частотой столкновений, равной $v+z$, здесь λ — некая эффективная длина свободного пробега иона с учетом изменения импульса ионов вследствие ионизации и ухода на стенку. Качественно λ можно представить в виде

$$\lambda^{-1} = \lambda_i^{-1} + \lambda_z^{-1}, \quad (4)$$

где λ_i — истинная длина свободного пробега ионов, а λ_z — длина ионизации. В диффузионном пределе ($\frac{\lambda_i}{R} \ll 1$) λ совпадает с λ_i , в противоположном ленгмюровском пределе ($\frac{\lambda_i}{R} \gg 1$), $\lambda = \lambda_z \approx \frac{v_s}{z}$ — величина порядка R .

В силу симметрии задачи

$$\varphi(0) = E(0) = 0. \quad (5)$$

В качестве граничного условия, в соответствии с [1], примем критерий Бома

$$v_R = v_s = \left(\frac{kT_e}{M}\right)^{1/2}. \quad (6)$$

Вводя безразмерные переменные

$$\xi = \frac{x}{d}; \quad \delta = \frac{n}{n_0}; \quad \eta = -\frac{e\Phi}{kT_e},$$

для плоского слоя плазмы толщиной $2d$ из [1—3] получаем

$$\frac{d^2 \eta}{d\xi^2} - 2 \left(\frac{d\eta}{d\xi} \right)^2 = 2\alpha \left(\frac{d\eta}{d\xi} \right)^{1/2}, \quad \eta = -\ln \delta; \quad (7)$$

$$\alpha = \frac{zd}{v_s} \left(\frac{\pi d}{2\lambda} \right)^{1/2}. \quad (8)$$

Интегрирование системы (7) с граничными условиями (5) и (6) дает пространственное распределение плазмы $\delta(\xi)$ и уравнение для параметра α

$$\alpha^{2/3} \xi = \frac{1}{2} \ln [(1 - \delta^3)^{1/3} + \delta] + \frac{1}{\sqrt{3}} \operatorname{arctg} \frac{2(\delta^3 - 1)^{1/3} - 1}{\sqrt{3}} + \frac{\pi}{6\sqrt{3}}, \quad (9)$$

$$\alpha^{2/3} = (bS)^{2/3} \xi = \frac{1}{6} \ln \frac{(b^{2/3} + S^{1/3})^3}{b^2 + S} + \frac{1}{\sqrt{3}} \operatorname{arctg} \frac{2b^{2/3} - S^{1/3}}{\sqrt{3} S^{1/3}} + \frac{\pi}{6\sqrt{3}}, \quad (10)$$

где

$$b = \left(\frac{\pi d}{2\lambda} \right)^{1/2}; \quad S = \frac{zd}{v_s}.$$

Из уравнения (10) следует, что при $\lambda/d=0$, α принимает предельное значение $\alpha_0 = \left(\frac{2\pi}{3\sqrt{3}} \right)^{3/2} = 1,33$. Следствием же уравнения (9) является универсальная зависимость δ от $\alpha^{2/3}\xi$, независимо от параметра λ/d , последний лишь определяет положение границы плазмы посредством параметра α . Зависимости α от λ/d и распределение плотности плазмы δ от обобщенной координаты $\alpha^{2/3}\xi$, следующие из уравнений (9) и (10), представлены на рис. 1.

Значения частоты ионизации и граничной концентрации, следующие из уравнений (9) и (10), имеют вид

$$z = \frac{v_s}{d} \alpha \left(\frac{2\lambda}{\pi d} \right)^{1/2}, \quad \delta_d = \left[1 + \frac{\pi}{2} \frac{v_s}{\lambda z} \right]^{-1/3}.$$

В силу слабой зависимости α от λ/d , принимая среднее значение $\alpha = 1,25$, для z и δ_d получаем

$$z = \frac{v_s}{d} \left(\frac{\lambda}{d} \right)^{1/2}, \quad \delta_d = \left[1 + \frac{\pi}{2} \left(\frac{d}{\lambda} \right)^{3/2} \right]^{-1/3}. \quad (11)$$

В диффузионном пределе, $\lambda_i/d \ll 1$, $\lambda = \lambda_i$,

$$\delta_d = 0,86 \left(\frac{\lambda_i}{d} \right)^{1/2}.$$

Экстраполяция решений (11) к ленгмюровскому пределу

$\left(\frac{i\lambda}{d} \gg 1, \lambda = \lambda_z \right)$ позволяет получить интерполяционные формулы для широкого диапазона давлений. Для этого «сошьем» выражение (11) для z со значением z из теории Ленгмюра — Тонкса

$$\frac{v_s}{d} \left(\frac{\lambda_z}{d} \right)^{1/2} = S_0 \frac{v_s}{d}, \quad S_0 = 0,572,$$

откуда с учетом (4) следует

$$\frac{\lambda_z}{d} = S_0^2 = \frac{1}{3}; \quad \frac{d}{\lambda} = 3 + \frac{d}{\lambda_i}.$$

Тогда для z и δ_d окончательно получаем интерполяционные формулы для плоской задачи

$$z = \frac{v_s}{d} \left(3 + \frac{d}{\lambda_i} \right)^{-1/2}, \quad \delta_d = 0,86 \left(3 + \frac{d}{\lambda_i} \right)^{-1/2}. \quad (12)$$

В ленгмюровском пределе из (12) следует $\delta_d = 0,50$, в то время как из теории Ленгмюра — Тонкса $\delta_d = 0,43$.

3. Рассмотрим аналогичную задачу для цилиндра с радиусом R . В этом случае система уравнений (1) — (3) дает для безразмерного потенциала

$$\frac{d^2 \eta}{d\xi^2} = 2 \left[\left(\frac{d\eta}{d\xi} \right)^2 - \frac{1}{\xi} \frac{d\eta}{d\xi} + \alpha \left(\frac{d\eta}{d\xi} \right)^{1/2} \right], \quad (13)$$

здесь

$$\xi = \frac{r}{R}, \quad \alpha = \frac{zR}{v_s} \left(\frac{\pi R}{2\lambda} \right)^{1/2}.$$

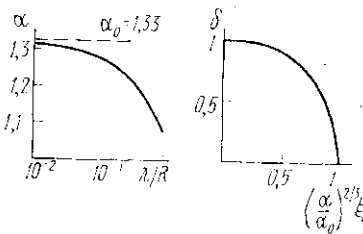


Рис. 1. Зависимость α от λ/d и профиль плотности δ для плоского слоя плазмы

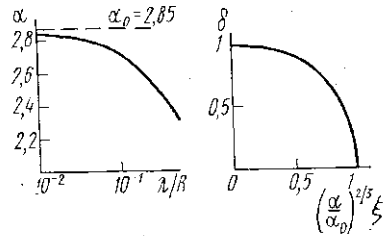


Рис. 2. Зависимость α от λ/R и профиль плотности δ для плазменного цилиндра

Найденные с помощью ЭВМ зависимость α от λ/R и универсальный профиль плотности плазмы даны на рис. 2. Предельное значение $\alpha_0 = 2,85$, а граничная концентрация плазмы с точностью не хуже 1% описывается формулой

$$\delta_R = \left[1 + \left(\frac{\pi R}{2\lambda} \right)^{3/2} \right]^{-1/3}.$$

Повторяя процедуру, проведенную для плоского случая ($\bar{\alpha} = 2,76$; $S_0 = 1,11$), получаем формулы для цилиндрической задачи

$$z = 2,2 \frac{v_s}{R} \left(\frac{R}{\lambda_i} + 4 \right)^{-1/2}, \quad \delta_R = 0,8 \left(\frac{R}{\lambda_i} + 4 \right)^{-1/2}. \quad (14)$$

В ленгмюровском пределе $\delta_R = 0,40$, а из теории Ленгмюра — Тонкса $\delta_R = 0,32$. В диффузионном пределе

$$z = 2,2 \frac{v_s}{R} \left(\frac{\lambda_i}{R} \right)^{1/2}, \quad \delta_R = 0,8 \left(\frac{\lambda_i}{R} \right)^{1/2}. \quad (15)$$

Отметим две особенности зависимости величины $S = \frac{zR}{v_s}$ от параметра подобия $\rho_0 R$ в диффузионном пределе. Первая состоит в том,

что, в отличие от модели Шоттки, где $S = (2,4)^2 \frac{v_s}{v_0 R} \sim (p_0 R)^{-1}$, в рассматриваемой модели $S \sim (p_0 R)^{-1/2}$. Вторая — это независимость S от температуры газа, в то время как теория Шоттки $S \sim v_0^{-1} \sim T_g^{-1/2}$.

4. На рис. 3 представлены зависимости S от $\frac{\lambda_i}{R} \sim (p_0 R)^{-1}$, следующие из формулы (14), и S_1 — из теории Шоттки, там же даны результаты численного счета по данным работы [4]. Из рис. 3 видно, что для низких давлений, где $\frac{T_e}{T_g} \frac{\lambda_i}{R} > 1$, имеется хорошее согласие

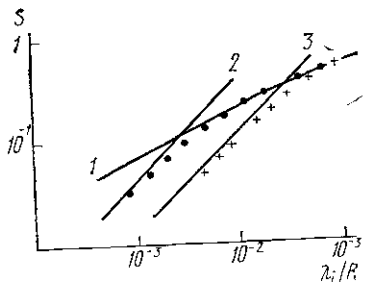


Рис. 3. Зависимость S от λ_i/R . 1 — по формуле (14), 2 — S_1 для $T_e/T_g=300$, 3 — S_1 для $T_e/T_g=30$; ● и × — результаты численного счета по данным работы [4] соответственно для $T_e/T_g = 300$ и $T_e/T_g = 30$

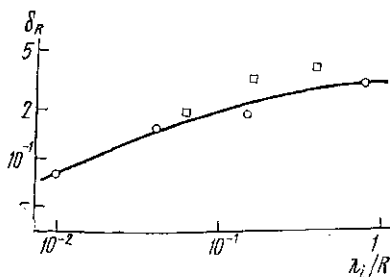


Рис. 4. Зависимость δ_R от λ_i/R : — по формуле (14), □ — по экспериментальным данным [5], ○ — по экспериментальным данным [6]

формулы (14) с результатами численного счета. В то же время для $\frac{T_e}{T_g} \frac{\lambda_i}{R} < 1$ численный счет практически совпадает с теорией Шоттки. В области $\frac{T_e}{T_g} \frac{\lambda_i}{R} \approx 1$ значения S и S_1 отличаются от результатов численного счета не более 20÷30%.

На рис. 4 представлена зависимость δ_R от λ_i/R и значения δ_R , полученные из экспериментальных данных [5, 6] плотности ионного тока на стенку I_i по формуле

$$\delta_R = \frac{I_i}{en_0 v_s}$$

При вычислении λ_i использовались значения сечения резонансной перезарядки ионов ртути при энергии, равной 1 эВ, $q = 1,5 \cdot 10^{-14}$ см².

Видно хорошее согласие результатов как в диффузионной области, где экспериментальные значения $\delta_R \sim (\lambda_i/R)^{1/2}$, так и в режиме свободного пробега.

Таким образом, рассмотренная здесь упрощенная модель положительного столба сильнонеизотермической плазмы дополняет модель Шоттки со стороны низких давлений, граница применимости двух моделей определяется условием $\frac{T_e}{T_g} \frac{\lambda_i}{R} \approx 1$.

В заключение заметим, что при $\frac{T_e}{T_g} \frac{\lambda_i}{R} < 1$ значение δ_R можно

просто получить из диффузионного уравнения Шоттки с использованием в качестве граничного условия критерия Бома — $\delta_R = 1,25 \frac{v_s}{v_0 R}$. Этот же результат следует из более точного рассмотрения [2, 4].

ЛИТЕРАТУРА

1. Person K. B. — «Phys. Fluids», 1962, 5, 1625.
2. Self S. A., Ewald H. N. — «Phys. Fluids», 1966, 9, 2486.
3. Захарова В. М., Каган Ю. М., Перель В. И. — «Изв. АН СССР. Физ.», 1959, 23, 999.
4. Cervenan L., Martisovits V. — «Czech. J. Phys.», 1976, B26, 507.
5. Грановский В. Л. — ДАН, 1939, 23, 880.
6. Клярфельд Б. Н. — «Труды ВЭИ», 1940, 41, 165.

Поступила в редакцию
22.3 1977 г.
Кафедра
электроники